

Г-276

ОБЪЕДИНЕННЫЙ  
ИНСТИТУТ  
ЯДЕРНЫХ  
ИССЛЕДОВАНИЙ

Дубна

966/2-71



P 2-5604

С.Р.Геворкян, А.В.Тарасов, Ч.Цэрэн

АМПЛИТУДЫ И СЕЧЕНИЯ  
КОГЕРЕНТНОГО РОЖДЕНИЯ  
СТАБИЛЬНЫХ И НЕСТАБИЛЬНЫХ ЧАСТИЦ  
В СТОЛКНОВЕНИЯХ  
БЫСТРЫХ ЧАСТИЦ С ЯДРАМИ

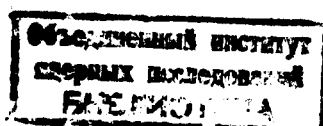
1971

**P 2-5604**

**С.Р.Геворкян,<sup>\*</sup> А.В.Тарасов, Ч.Цэрэн**

**АМПЛИТУДА И СЕЧЕНИЕ  
КОГЕРЕНТНОГО РОЖДЕНИЯ  
СТАБИЛЬНЫХ И НЕСТАБИЛЬНЫХ ЧАСТИЦ  
В СТОЛКНОВЕНИЯХ  
БЫСТРЫХ ЧАСТИЦ С ЯДРАМИ**

Направлено в ЯФ



\* Ереванский физический институт.

## §1. Введение

Интерес к процессам рождения резонансов при столкновении  $\gamma$ -квантов,  $\pi^-$ ,  $K^-$ -мезонов и протонов с ядрами обусловлен возможностью извлекать информацию о параметрах резонанс-нуклонного взаимодействия из анализа экспериментальных данных о таких процессах. Однако и при теоретических рассмотрениях этой проблемы<sup>/1,2/</sup>, и при обработке получаемой экспериментальной информации<sup>/3/</sup> используются выражения для амплитуд рассматриваемых процессов, не содержащие основной характеристики нестабильности рождающихся частиц – их конечной ширины. Оправданием такому пренебрежению эффектами нестабильности, по-видимому, могут служить сравнительно малые размеры ядер и сравнительно большие распадные длины пробега быстродвижущихся резонансов. Все же для процессов рождения резонансов с энергиями 3+6 Гэв на тяжелых ядрах, таких как  $Cu$ ,  $Pb$ <sup>/3/</sup>, отношение этих двух длин составляет величину порядка  $0,3 + 0,5$  (при обычных ширинах резонансов порядка 100 Мэв и массах порядка 1 Гэв) и совершенно не очевидно, что пренебрежение такими величинами в показателе экспоненты не изменяет заметно результатов соответствующих вычислений.

В настоящей работе получены замкнутые выражения для амплитуд когерентного рождения резонансов на ядрах с учётом ширины рождающихся резонансов. Показано, что в определенном интервале энергии налетающей частицы учёт конечной ширины резонансов ощутимо меняет сечения.

§2. Квазиглауберовское представление для  
амплитуд рождения частиц на ядрах

Исследуя столкновения быстрой частицы 1 с ядром А, приводящие к рождению частицы 2 (в общем случае нестабильной), будем исходить из формальной теории взаимодействия частиц с ядрами, аналогичной теории многократного рассеяния Ватсона<sup>/4/</sup>.

В этой теории амплитуда процесса представляется в виде бесконечной суммы слагаемых, отвечающих различным комбинациям кратных столкновений в ядре.

Существенные упрощения, в частности сокращение числа слагаемых в этой сумме, возникают в пределе больших (порядка нескольких Гэв) энергий налетающей частицы 1.

Схема дальнейших выкладок и делаемые приближения – такие же, как и в работе<sup>/5/</sup>, где рассматривалось рассеяние быстрых частиц ядрами. Поэтому при получении результатов этого параграфа мы остановимся лишь на некоторых моментах вывода, опуская многие детали и отсылая за ними к работе<sup>/5/</sup>.

Пренебрежение в функциях Грина величинами кинетической и потенциальной энергии нуклонов ядра по сравнению с энергиями налетающей и рождающейся частиц позволяет записать произвольное слагаемое  $F^{\ell, m}$  полной амплитуды, отвечающее рассеянию частицы 1  $\ell$  нуклонами, рождению частицы 2 на  $\ell+1$ -ом нуклоне и последующему ее рассеянию  $m$  нуклонами, в следующем виде:

$$F^{\ell, m}(\vec{k}, \vec{q}) = \frac{1}{4\pi} \int \Phi_f^*(r_k) \prod_{s=1}^m \left\{ \frac{d\vec{q}_s f_2(\vec{q}_s, \vec{q}_{s+1}) e^{i(\vec{q}_s - \vec{q}_{s+1}) \vec{r}_n \ell_{s+1}}}{(2\pi)^2 \epsilon_2(\vec{q}_s) [\epsilon_1(\vec{k}) - \epsilon_2(\vec{q}_s) + \frac{i\Gamma m_2}{2\epsilon_2(\vec{q}_s)}]} \right\} \times \\ \times f_{12}(\vec{k}_{\ell+1}, \vec{q}_1) e^{i(\vec{k}_{\ell+1} - \vec{q}_1) \vec{r}_n \ell_1} \times$$

$$\times \prod_{t=1}^{\ell} \left\{ \frac{d\vec{k}_{t+1} f_1(\vec{k}_t, \vec{k}_{t+1}) e^{i(\vec{k}_t - \vec{k}_{t+1}) \vec{r}_{n_t}}}{(2\pi)^2 \epsilon_1(\vec{k}_{t+1}) [\epsilon_1(\vec{k}_t) - \epsilon_1(\vec{k}_{t+1}) + i0]} \right. \times$$

(1)

$$\times \Phi_1(\vec{r}_k) \prod_{k=1}^A d\vec{r}_k .$$

В выражении (1)  $\phi_1$  и  $\phi_2$  - волновые функции начального и конечного состояний ядра;  $f_1$ ,  $f_2$  - амплитуды рассеяния частиц 1,2 на нуклонах, нормированные условием  $d\sigma/d\Omega = |f|^2$ ; а  $f_{12}$  - амплитуда процесса  $1 + N \rightarrow 2 + N$ . Величины  $k_t$  и  $\epsilon_1(k_t) = \sqrt{k_t^2 + m_1^2}$  представляют импульс и энергию частицы 1 перед  $t$ -ым столкновением и  $k = k_1$ . Аналогично  $q_s$  и  $\epsilon_2(q_s) = \sqrt{q_s^2 + m_2^2}$  - импульс и энергия частицы 2 перед  $s$ -ым столкновением, а  $q = q_{m+1}$  - импульс этой частицы после последнего столкновения.

В пропагаторы рождающейся частицы 2 явно включена ее полуширина  $\Gamma/2$ , а релятивистский фактор  $m_2/\epsilon_2$  при ней должен обеспечить увеличение времени жизни (в лаб. системе) быстродвижущейся нестабильной частицы. Наконец, индексы  $\Pi_1$  нумеруют нуклоны, испытавшие  $i$ -ое соударение.

Учтем теперь, что при высоких энергиях рассеяние происходит в основном вперед. Это означает (в предположении, что амплитуды зависят лишь от инвариантных передач импульса; обсуждение этого вопроса см. в <sup>5/</sup>), что в области, где  $f_1$ ,  $f_2$ ,  $f_{12}$  существенно отличны от нуля, они являются функциями только поперечных - ортогональных направлению падающего пучка - передач импульса

$$(k_t - k_{t+1})_\perp, (q_s - q_{s+1})_\perp, (k_{\ell+1} - q_1)_\perp.$$

Вводя профилирующую функцию

$$\Gamma(\vec{b}) = \frac{1}{2\pi i k} \int f(\vec{\Delta}_\perp) e^{i\vec{\Delta}_\perp \cdot \vec{b}} d^2 \Delta_\perp, \quad (2)$$

преиебрегая в пропагаторах зависимостью от малых величин – попе-речных компонент импульсов – и учитывая лишь главные члены разложения по продольным передачам (подробности снова см. в <sup>5/</sup>), выполним в (1) интегрирование по промежуточным импульсам  $\vec{q}_s$ ,  $\vec{k}_t$ . Это приводит к следующему квазиглауберовскому представлению для амплитуды

$$F^{\ell, m}(\vec{k}, \vec{q}) = \frac{i k}{2\pi} \int d^2 b e^{i(\vec{k} - \vec{q})_\perp \cdot \vec{b}} \Gamma^{\ell, m}(\vec{b}), \quad (3)$$

$$\Gamma^{\ell, m}(\vec{b}) = (-1)^{\ell+m} \int \Phi_f^*(\vec{r}_k) \prod_{s=1}^m [\Gamma_2(\vec{b} - \vec{s}_{n_{\ell+s+1}}) \Theta(z_{n_{\ell+s+1}} - z_{n_{\ell+s}}) \times$$

$$\times e^{-\gamma(z_{n_{\ell+s+1}} - z_{n_{\ell+s}})}] \Gamma_{12}(\vec{b} - \vec{s}_{n_{\ell+1}}) e^{i\Delta z_{n_{\ell+1}}} \times$$

$$\times \prod_{t=1}^{\ell} [\Gamma_1(\vec{b} - \vec{s}_{n_t}) \Theta(z_{n_{t+1}} - z_{n_t})] \Phi_1(\vec{r}_k) \prod_{k=1}^A d\vec{r}_k. \quad (4)$$

В (4)  $z_n$  и  $s_n$  – продольные (направленные вдоль  $\vec{k}$ ) и поперечные компоненты радиус-векторов  $\vec{r}_n$ ,  $\gamma = \Gamma m_2 / 2q$  – об-ратная распадная длина пробега частицы 2,

$$\Delta = \mathbf{k} - \mathbf{q} \approx \frac{\mathbf{m}_2^2 - \mathbf{m}_1^2}{\mathbf{k} + \mathbf{q}} \approx \frac{\mathbf{m}_2^2 - \mathbf{m}_1^2}{2\mathbf{k}}$$

- продольная передача импульса в реакции  $1 + N \rightarrow 2 + N$  вперед.  
 Наличие  $\Theta$ -символов в (4) исключает такие комбинации столкновений, в которых какой-либо нуклон ядра участвует более одного раза, тем самым ограничивая число слагаемых  $F_{l,m}$  в полной амплитуде конечной величиной.

### §3. Когерентное рождение частиц на тяжелых ядрах

Рассмотрим сначала рождение стабильных частиц ( $\gamma = 0$ ). Фиксируя  $l+m+1$  нуклонов, на которых происходит рассмотренный выше процесс, и суммируя по всем перестановкам  $l$  нуклонов, рассеивающих налетающую частицу, и по всем перестановкам  $m$  нуклонов, рассеивающих рожденную частицу, получим величину

$$\begin{aligned}
 (-1)^{l+m} \Gamma_{\Sigma}^{l,m} &= \int \Phi_f^*(\vec{r}_k) \prod_{s=1}^m [\Gamma_2(\vec{b} - \vec{s}_{n_s + l+1}) \Theta(z_{n_s + l+1} - z_{n_{l+1}})] \times \\
 &\times \Gamma_{12}(\vec{b} - \vec{s}_{n_{l+1}}) e^{i\Delta z_{n_{l+1}}} \prod_{t=1}^l [\Gamma_1(\vec{b} - \vec{s}_{n_t}) \Theta(z_{n_{l+1}} - z_{n_t})] \times \\
 &\times \Phi_1(\vec{r}_k) \prod_{k=1}^A d\vec{r}_k. \tag{5}
 \end{aligned}$$

Эта величина, напоминая соответствующие амплитуды работ  $\langle 1,2 \rangle$ , получаемые при попытках непосредственно обобщить теорию Глаубера на случай процессов рождения, все же отличается от них в двух пунктах.

Во-первых, (5) включает зависимость от продольной передачи импульса  $\Delta$ .

Во-вторых, в (5) "хронологически" (в данном случае роль "времени" играет координата  $z$  нуклона, испытывающего столкновение) разделены процессы рассеяния частицы 1, рождения частицы 2 и ее последующего перерассеяния.

Перейдем к рассмотрению когерентного рождения ( $\Phi_f = \Phi_1$ ) стабильных частиц 2. Полагая, как обычно,

$$|\Phi_1(\vec{r}_k)|^2 = \prod_{k=1}^A \tilde{\rho}(\vec{r}_k), \quad (6)$$

$$\int \tilde{\rho}(\vec{r}_k) d\vec{r}_k = 1 \quad (7)$$

и суммируя амплитуды (5), отвечающие всевозможным комбинациям столкновений, получим с помощью простой комбинаторики следующее представление для полной амплитуды когерентного рождения:

$$\Gamma_c(\vec{b}) = \int_{-\infty}^{\infty} dz \int d\vec{s} \left\{ \sum_{k=1}^A \frac{A!}{(A-k)! k!} \sum_{\ell=0}^{k-1} \frac{k!}{\ell! (k-\ell-1)!} \times \right. \quad (8)$$

$$\times \left[ - \int_z^{\infty} dz' \int_{-\infty}^{\infty} d\vec{s}' \tilde{\rho}(z', \vec{s}') \Gamma_2(\vec{b} - \vec{s}') \right]^{k-\ell-1} \times \\ \times e^{i\Delta z} \Gamma_{12}(\vec{b} - \vec{s}) \tilde{\rho}(z, \vec{s}) \left[ - \int_{-\infty}^z dz'' \int_{-\infty}^{\infty} d\vec{s}'' \tilde{\rho}(z'', \vec{s}'') \Gamma_1(\vec{b} - \vec{s}'') \right]^{\ell} \}.$$

Если в амплитуду (8) рождения на тяжелых ядрах  $A \gg 1$  основной вклад дают несколько первых членов с  $k \ll A$ , то можно заменить в (8)  $A!/(A-k)!$  на  $A^k$ , ввести величину ядерной плотности  $\rho = A \tilde{\rho}$ , которая, как принято считать, для тяжелых ядер слабо зависит от  $A$ , и распространить суммирование по  $K$  в (8) до бесконечности.

Учитывая тогда тождество

$$\sum_{k=1}^{\infty} \sum_{\ell=0}^{k-1} \frac{x^{k-\ell-1} y^\ell}{\ell! (k-\ell-1)!} = e^x e^y, \quad (9)$$

получим для амплитуды когерентного рождения частицы 2 на тяжелых ядрах

$$\begin{aligned} \Gamma_c(\vec{b}) &= \int_{-\infty}^{\infty} dz \int_{-\infty}^{\infty} d\vec{s}' \{ \exp \left[ - \int_z^{\infty} dz' \int_{-\infty}^{\infty} d\vec{s}'' \rho(z', \vec{s}'') \Gamma_2(\vec{b}-\vec{s}') \right] \times \\ &\times e^{i\Delta z} \rho(z, \vec{s}') \Gamma_{12}(\vec{b}-\vec{s}') \exp \left[ - \int_{-\infty}^z dz'' \int_{-\infty}^{\infty} d\vec{s}''' \rho(z'', \vec{s}''') \Gamma_1(\vec{b}-\vec{s}'') \right] \}. \end{aligned} \quad (10)$$

Обычно величины  $\Gamma(\vec{b}-\vec{s})$  – быстроубывающие функции модулей своих аргументов, в то время как  $\rho(z, \vec{s})$  – сравнительно плавно меняющиеся величины. Поэтому часто производят замену:

$$\begin{aligned} \int_{-\infty}^{\infty} ds \rho(z, \vec{s}) \Gamma(\vec{b}-\vec{s}) &\approx \rho(z, \vec{b}) \int \Gamma(\vec{b}-\vec{s}) d\vec{s} = \\ &= \rho(z, \vec{b}) \frac{2\pi}{ik} f(0). \end{aligned} \quad (11)$$

В этом приближении (10) превращается в известное выражение, получаемое в оптической модели (см., например, ).

$$\Gamma_c(\vec{b}) = \frac{2\pi}{ik} f_{12}(0) \int_{-\infty}^{\infty} dz \{ \exp \left[ - \int_z^{\infty} \frac{\sigma'_2}{2} \rho(z', \vec{b}) dz' \right] \times \\ \times e^{i\Delta z} \rho(z, \vec{b}) \exp \left[ - \int_{-\infty}^z \frac{\sigma'_1}{2} \rho(z'', \vec{b}) dz'' \right] \}, \quad (12)$$

где

$$\sigma'_{1(2)} = -\frac{4\pi}{ik} f_{1(2)}(0) = \sigma_{1(2)} (1 - i \alpha_{1(2)}), \quad (13)$$

$$\alpha = \operatorname{Re} f(0) / \operatorname{Im} f(0).$$

Во всех выкладках до сих пор полагалось, что амплитуды рождения частицы 2 на протоне и нейтроне одинаковы:  $f_{12,p} = f_{12,n} = f_{12}$ . Если они различны, то, как нетрудно убедиться, величина  $f_{12}$  в (12) должна быть заменена величиной

$$\overline{f}_{12} = \frac{Z f_{12,p} + (A-Z)f_{12,n}}{A}, \quad (14)$$

где  $Z$  – число протонов в ядре с массовым числом  $A$ .

Рассмотрим теперь случай  $\gamma \neq 0$ . Легко видеть, что амплитуда (4) для этого случая отличается от соответствующей амплитуды при  $\gamma = 0$  лишь множителем

$$e^{-\gamma(z_n \ell_{+m+1} - z_n \ell_{+1})}, \quad (15)$$

который зависит только от полного пути, проходимого частицей 2 от момента рождения до последнего столкновения, и не содержит координат нуклонов, участвующих в промежуточных столкновениях. Поэтому можно просуммировать величины (4), соответствующие всем перестановкам этих промежуточных  $(m-1)$  нуклонов, а также всем перестановкам  $\ell$  нуклонов, рассеивающих частицу 1. Эта сумма, которая обозначена  $\Gamma_{\Sigma}^{\ell, m}$ , выглядит следующим образом:

$$\begin{aligned} (-1)^{\ell+m} \Gamma_{\Sigma}^{\ell, m} &= \int \Phi_f^*(\vec{r}_f) \{ \Gamma_2(\vec{b} - \vec{s}_{n \ell+m+1}) e^{-\gamma(z_n \ell_{+m+1} - z_n \ell_{+1})} \times \\ &\times \prod_{s=1}^{m-1} [\Gamma_2(\vec{b} - \vec{s}_{n s}) \Theta(z_n \ell_{+m+1} - z_n \ell_{+s+1}) \Theta(z_n \ell_{+s+1} - z_n \ell_{+1})] \} \times \\ &\times \Gamma_{12}(\vec{b} - \vec{s}_{n \ell+1}) e^{i \Delta z_n \ell_{+1}} \prod_{t=1}^{\ell} [\Gamma_1(\vec{b} - \vec{s}_{n t}) \Theta(z_n \ell_{+1} - z_n n_t)] \times \\ &\times \Phi_i(\vec{r}_k) \prod_{k=1}^A d\vec{r}_k. \end{aligned} \quad (16)$$

Это выражение относится к случаю  $m \neq 0$ . Величина  $\Gamma^{\ell, 0}$  получается из (16), если множитель, заключенный в фигурные скобки, заменить

единицей. Наконец, суммируя величины  $\Gamma^{\ell, m}$ , соответствующие всевозможным комбинациям  $\ell$  и  $m$ , получим, учитывая (6) для амплитуды когерентного рождения:

$$\begin{aligned} \Gamma_c(\vec{b}) &= \int_{-\infty}^{\infty} dz \int d\vec{s} \{ \tilde{\rho}(z, \vec{s}) \Gamma_{12}(\vec{b}-\vec{s}) e^{i\Delta z} \times \\ &\quad \times \sum_{k=1}^A \frac{A!}{(A-k)!(k-1)!} [- \int_z^{\infty} dz' \int_{-\infty}^{\infty} d\vec{s}' \tilde{\rho}(z', \vec{s}') \Gamma_1(\vec{b}-\vec{s}')]^{k-1} \} - \\ &- \int_{-\infty}^{\infty} dz \int d\vec{s} \{ \tilde{\rho}(z, \vec{s}) \Gamma_{12}(\vec{b}-\vec{s}) e^{i\Delta z} \int_z^{\infty} d\tilde{z} \int_{-\infty}^{\infty} d\tilde{\vec{s}} \tilde{\rho}(\tilde{z}, \tilde{\vec{s}}) \Gamma_2(\vec{b}-\tilde{\vec{s}}) \times \\ &\quad \times e^{-\gamma(\tilde{z}-z)} \sum_{k=2}^A \frac{A!}{(A-k)! k!} \sum_{\ell=0}^{k-1} \frac{k!}{\ell! (k-\ell-2)!} \times \\ &\quad \times [- \int_z^{\tilde{z}} dz'' \int_{-\infty}^{\infty} d\tilde{\vec{s}}'' \tilde{\rho}(z'', \tilde{\vec{s}}'') \Gamma_2(\vec{b}-\vec{s}'')]^\ell \} . \end{aligned} \quad (17)$$

Первое слагаемое в (17) есть сумма всех выражений  $\Gamma^{\ell, 0}$ , второе – сумма величин  $\Gamma^{\ell, m} (m \neq 0)$ . Далее, используя те же приближения, что и при выводе формулы (12), легко получить

$$\Gamma_c(\vec{b}) = \frac{2\pi}{ik} \bar{f}_{12}(0) \int_{-\infty}^{\infty} dz e^{i\Delta z} \rho(z, \vec{b}) \exp[- \int_z^{\infty} \frac{\sigma'_1}{2} \rho(z', \vec{b}) dz'] \quad (18)$$

$$\times \{ 1 - \int_z^{\infty} d\tilde{z} \frac{\sigma'_2}{2} \rho(z, \vec{b}) e^{-\gamma(\tilde{z}-z)} \exp[- \int_z^{\tilde{z}} \frac{\sigma'_2}{2} \rho(z'', \vec{b}) dz''] \} .$$

Если учесть, что

$$-\frac{\sigma'_2}{2} \rho(\tilde{z}, \vec{b}) \exp\left[-\int_z^{\tilde{z}} \sigma'_2 / 2 \rho(z'', \vec{b}) dz''\right] = \frac{d}{d\tilde{z}} \exp\left[-\int_z^{\tilde{z}} \frac{\sigma'_2}{2} \rho(z'', \vec{b}) dz''\right], \quad (18)$$

то легко убедиться, что выражение (18) в пределе  $y=0$  превращается в (12). Используя (18), множитель в (18), заключенный в фигурную скобку, можно также переписать в виде

$$\begin{aligned} 1 - \int_z^{\infty} d\tilde{z} \left[ \frac{\sigma'_2}{2} \rho(\tilde{z}, \vec{b}) e^{-\gamma(\tilde{z}-z)} \exp\left[-\int_z^{\tilde{z}} \frac{\sigma'_2}{2} \rho(z'', \vec{b}) dz''\right]\right] = \\ = \gamma \int_z^{\infty} d\tilde{z} \exp\left\{-\int_z^{\tilde{z}} \left[\frac{\sigma'_2}{2} \rho(z'', \vec{b}) + \gamma\right] dz''\right\}. \end{aligned} \quad (20)$$

Для оценки эффектов нестабильности рождающихся частиц производилось сравнение дифференциальных сечений когерентного фоторождения  $\rho^0$ -мезонов на ядрах меди и свинца под нулевым углом. Использовалась модель ядра в виде однородной сферы радиуса  $r = A^{1/3} 1,12$ . Полные сечения взаимодействия  $\rho^0$ -мезонов с нуклонами полагались равными  $\sigma_{\rho N} = \sigma_{\pi N} = 27$  мбарн в соответствии с предсказаниями квarkовых моделей и результатами экспериментальных данных <sup>/3/</sup>.

В прилагаемой таблице представлены отношения  $R$  дифференциальных сечений фоторождения  $\rho^0$ -мезонов вперед с учётом ширины рождающихся  $\rho^0$ -мезонов к тем же самим величинам, но с нулевой шириной. Видно, что для не очень больших энергий налетающего  $y$ -кванта и тяжелых ядер эффект нестабильности не мал. Результаты более детальных расчётов будут опубликованы позже.

Авторы благодарят Л.И. Лапидуса за обсуждения и интерес  
к работе.

### Л и т е р а т у р а

1. J. Formanek and J.S. Trefil. Nucl.Phys., B3, 155 (1967);  
B4, 165 (1968); J.S. Trefil. Phys.Rev., 180, 1366 (1969).
2. B. Margolis. Phys. Lett., 26B, 524 (1968);  
K.S. Kolbig, B. Margolis. Nucl.Phys., B6, 85 (1968).
3. J.S. Asbury et al. Phys.Rev.Lett., 19, 865 (1967);  
H. Alvensleben et al., DESY report 70/6 (1970);  
R. Marshall. DESY report 70/32 (1970).
4. K.M. Watson. Phys.Rev., 105, 1388 (1957).
5. А.В. Тарасов, Ч. Цэрэн. ЯФ, 12, 978 (1970).

Рукопись поступила в издательский отдел  
4 февраля 1971 года.

Таблица

Cu

Pb

E, GeV	R	R
3	1,26	1,23
3,5	1,24	1,26
4	1,21	1,32
4,5	1,19	1,35
5	1,16	1,31
5,5	1,14	1,28
6	1,12	1,26
6,5	1,09	1,24
7	1,07	1,21